

Introdução

Proteínas são longas seqüências de resíduos de aminoácidos que adotam uma estrutura tridimensional única quando em meio fisiológico, a qual está associada a sua função na célula [1]. A determinação dessa estrutura 3D pode ser obtida de maneira experimental, através das técnicas de cristalografia por difração de raio-x ou de ressonância magnética nuclear (RMN). Entretanto, ambas as técnicas são de alto custo e podem levar muito tempo, assim, o desenvolvimento e a utilização de métodos computacionais para a predição de estruturas 3D é fundamental. Atualmente é possível encontrar diversos métodos propostos para resolver os problemas de predição, os quais podem ser divididos em métodos baseados de primeiros princípios (*ab initio* e predição de novo) e métodos baseados em conhecimentos (alinhamento e modelagem comparativa) [2]. Os métodos baseados em conhecimento são dependentes de informações estruturais determinadas experimentalmente. Porém, ainda há muito a ser obtido das bases de dados e, além disso, novos padrões ainda podem ser descobertos. Desta maneira, há a necessidade da construção de estratégias computacionais para a identificação e extração de padrões conformacionais a fim de melhorar a predição de métodos baseados no conhecimento.

Materiais e Métodos

Database: o sucesso da predição de estruturas 3D de uma proteína em métodos baseados em conhecimento está diretamente relacionado a qualidade das informações obtidas do PDB (Berman). Foram selecionadas ~11000 estruturas proteicas contendo as informações de estrutura secundária e preferência conformacional dos resíduos de aminoácidos. Todas as estruturas selecionadas foram experimentalmente determinadas através das técnicas de difração de raio-x com uma resolução $\leq 2.5 \text{ \AA}$. Somente foram consideradas estruturas depositadas até dezembro de 2014. Foram removidas todas as estruturas com R-observado > 0.2 e selecionadas apenas aquelas com identidade de pelo menos 30%. Para os átomos da cadeia principal foram selecionados apenas resíduos com B-factor $\leq 30 \text{ \AA}^2$ e ocupância igual a 1.

Foi utilizado o programa STRIDE [3] para atribuir a estrutura secundária de cada resíduo de aminoácido, o qual possui oito estados de estrutura secundária: B, E, H, G, I, b, C e T. Entretanto, devido a baixa ocorrência ($< 1\%$) dos modelos I e b, foram considerados apenas 6 modelos: H (α -helix), G (3_{10} -helix), E (β -sheet), B (β -bridge), T (Turn) e C (Coil). Para cada estrutura foi gerado um arquivo contendo os aminoácidos, sua estrutura secundária e sua informação conformacional, ou seja, os ângulos de torção phi (ϕ) e psi (ψ) da cadeia peptídica.

Cada estrutura secundária tem sua preferência conformacional nos gráficos de Ramachandran, o qual representa ângulos phi (eixo x) *versus* ângulos psi (eixo y).

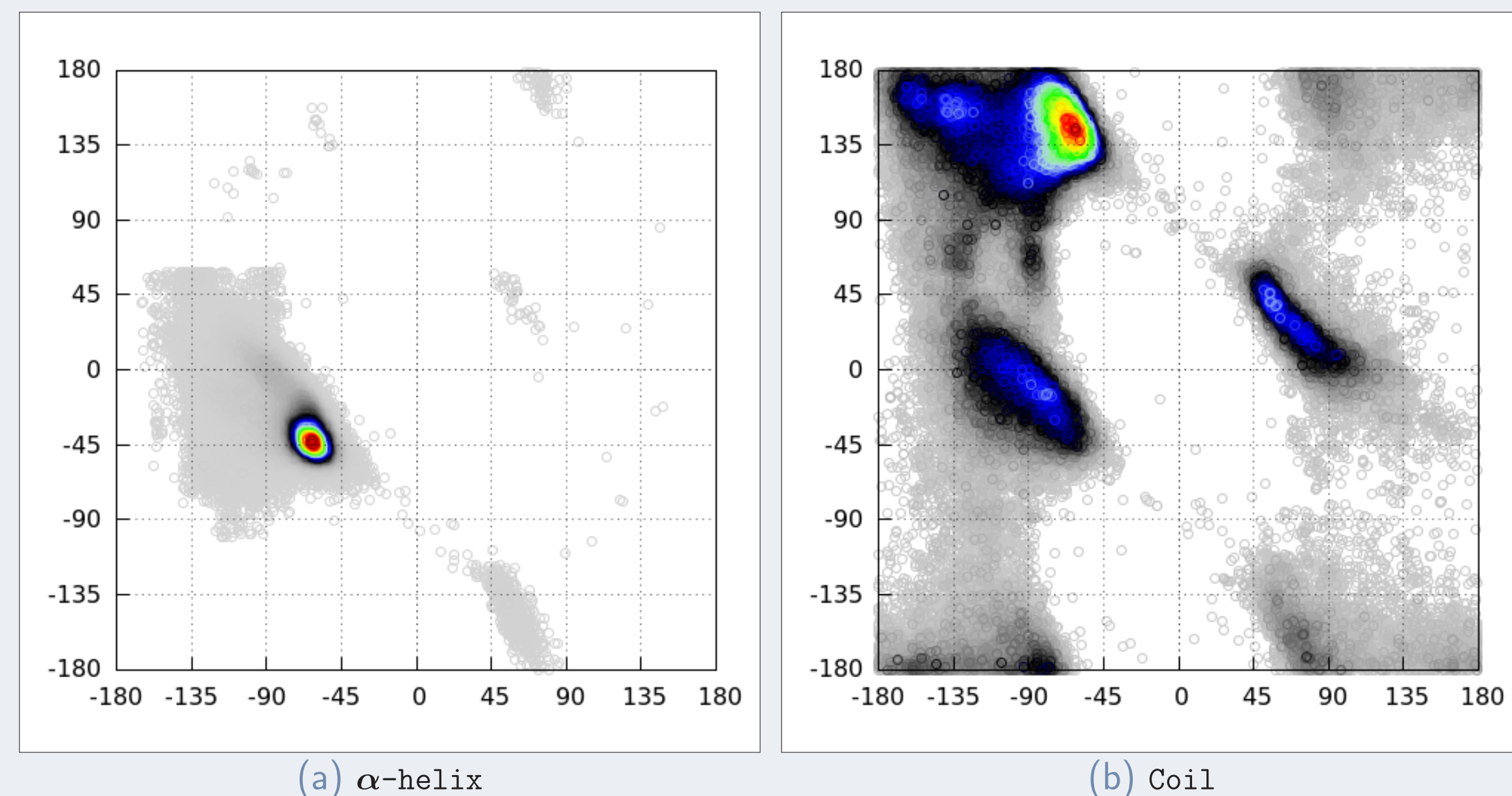


Figure 1 : Preferência Conformacional das estruturas H e C.

A partir destas informações, foi feita uma fragmentação de estrutura secundária (SS) dos resíduos a fim de encontrar padrões mais específicos: H - qualquer SS, E - qualquer SS, C - qualquer SS, G - qualquer SS, B - qualquer SS ou T - qualquer SS. Ao final desta etapa foram encontrados ~5000 diferentes padrões estruturais. Para as análises seguintes, foi selecionado o padrão **HCCH** contendo um total de 2978 ocorrências.

Clusterização: a partir dos ângulos phi/psi foi feita uma comparação par a par de todos os pedaços calculando o RMSD destes, com os dados sendo armazenados em uma matriz de distância. RMSD é a média das distâncias entre átomos de proteínas, a qual é utilizada para medir a semelhança entre estruturas 3D proteicas. Pares de estruturas em que o RMSD tem valor igual a 0 são consideradas iguais, e conforme vão se diferenciando será atribuído um valor positivo.

A fim de agrupar os padrões, foi aplicado um algoritmo de clusterização do pacote Scipy[4], cujo método utilizado é o de clusterização hierárquica. A clusterização hierárquica utiliza apenas critérios de similaridade para encontrar grupos nos quais as instâncias são mais semelhantes entre si. Dentre os diferentes métodos de agrupamento foi utilizado o método *complete-link* que considera a distância entre dois grupos como a maior distância entre todos os possíveis pares de elementos dos dois grupos. Como critério de semelhança se utilizou um cutoff de 1.0 [5], visto que pares de 4 resíduos são considerados semelhantes quando tiverem um RMSD de até 1.59 \AA , conforme a equação:

$$\text{RMSD}_{\text{cutoff}} = (N)^{1/3}, \text{ onde } N \text{ representa o número de resíduos.}$$

Foram selecionados os primeiros 10 grupos mais populosos, para os quais foram gerados gráficos de Ramachandran, alinhamento dos pedaços via Pymol e atributos (aminoácidos, polaridade e ângulos chi (χ)).

Classificação: a partir dos atributos de cada grupo, foram feitos testes utilizando uma metodologia genérica, em que se observou resultados preliminares interessantes. Foi usado o pacote de ferramentas Weka [6] o qual contém técnicas de mineração de dados. Foi aplicado o método de classificação Random Forest, o qual é capaz de classificar uma grande quantidade de dados. A eficácia do modelo é calculada através de uma matriz de confusão, a qual mostra o número de classificações reais contra o número de classificações preditas em cada grupo. A diagonal da matriz representa as classificações corretas, enquanto que o restante representa as classificações incorretas.

Resultados e Discussão



Figure 2 : Estruturas e Gráficos de Ramachandran dos 10 grupos mais densos.

Os resultados dos gráficos de Ramachandran da Fig. 1 demonstram uma preferência das estruturas Coils por 3 determinadas áreas (ângulos), ilustradas de maneira colorida no gráfico. Estas diferentes áreas levam a uma maior chance de erro nas predições visto que há variação da preferência conformacional. Analisando os gráficos da Fig. 2, é possível ver uma preferência conformacional das estruturas Coil em uma menor área (ângulos). Esta menor área leva a diminuição da região de busca em métodos de predição baseados em conhecimento para casos de estruturas Coil, reduzindo as chances de erros. O alinhamento das estruturas de cada grupo mostra a semelhança destas, o que representa os padrões/preferências de ângulos para cada grupo gerado.

Com a formação de cada grupo e os atributos dos mesmos gerados foi feita uma análise de classificação a fim de medir a eficiência do método de clusterização e se os grupos formados e suas respectivas estruturas estavam classificadas corretamente. No pacote de ferramentas Weka, foi utilizado esses dados de atributos como input e foi gerado uma árvore de classificação a partir da metodologia Random Forest. A análise da árvore foi demonstrada através de uma matriz de confusão, a qual apresentou uma eficiência de 71.03% para o método.

Conclusão

Os resultados preliminares corroboram para podermos afirmar que um método de classificação pode ser aplicado nesses dados possibilitando, assim, um conhecimento a mais para ser aplicado em métodos de conhecimentos de predição de estruturas 3D. Como perspectivas futuras, temos a implementação de um método de classificação específico para o problema, aplicação da metodologia realizada no trabalho nos outros padrões estruturais. Por fim, aplicar este conhecimento em um método de predição para estruturas 3D, visando sua melhoria.

Referências

- Lehninger, A.L., Nelson, D.L., Cox, M.M. *Principles of Biochemistry*. Freeman, 2005.
- Dorn, M., Barbachan e Silva, M., Buriol, L.S., Lamb, L.C., **Three-dimensional protein structure prediction: methods and computational strategies.**, *Computational biology and chemistry* 53 (2014): 251-276
- Heinig, M., Frishman, D., **STRIDE: a Web server for secondary structure assignment from known atomic coordinates of proteins.**, *Nucl. Acids Res.* 32 (2004): W500-2.
- <http://www.scipy.org/>
- Skolnick, J., Reva, B.A., Finkelstein, A.V., **What is the probability of a chance prediction of a protein structure with an rmsd of 6 Å?**, *Folding and Design*, Vol. 3, (1998): 141-147.
- Witten, I.H., Eibe, F., Hall, M.A., *Data Mining: practical machine learning tools and techniques.*, 3rd edition.

Acknowledgement: